

Equipe Commands

(Control, Optimization, Models, Methods and Applications
for Nonlinear Dynamical Systems)

Présentation OPTIMEO, 4 avril 2008

<http://www.cmap.polytechnique.fr/commands>



- Conception et analyse pour l'optimisation dynamique
- Optimisation de trajectoire : véhicules, processus de production
- Systèmes décrits par des équations aux dérivées partielles
- Programmation dynamique et ses extensions au temps continu (HJB)
- Systèmes incertains : programmation stochastique et contrôle stochastique.

- Aérospatial (CNES) : lanceurs, rentrée
- Energie (Total, GDF, EDF) : production électrique, stockage et négoce de gaz
- Process industriels : génie chimique
- Biologie ??

- J. Frédéric BONNANS : DR2 INRIA, responsable scientifique
- Hasnaa ZIDANI : Enseignante chercheur ENSTA, responsable permanent
- Pierre MARTINON : CR2 INRIA
- Emmanuel TRELAT : Prof. Univ. Orléans, collaborateur extérieur

- Jérôme BOLTE (délégation U. Paris VI, sept. 07 - aot 08)
- Pascal JAISSON (détachement Educ. Nat.: sept. 07-sept. 09)
- Nicolas FORCADEL (post-doc, sept. 07 - août 08)
- Emiliano CRISTIANI (sept 07-août 08, CNES-INRIA+DGA-ENSTA contracts)

- Gregory EMIEL (EDF-IMPA, fin en sept 2008)
Production électrique moyen terme
- Audrey HERMANT (DGA, fin en sept 2008)
Algorithmes de tir en commande optimale
- Soledad ARONNA (Cotutelle U. Rosario, Argentine, début sept. 07)
Modèles de production électrique en temps continu
- Francesco SILVA (Cordi/CMM, début sept. 07)
Algorithmes de points intérieurs en commande optimale

- CNES (pôle Opale) : trajectoires lanceurs et rentrée, 2006-2008.
- DGA Planification de trajectoire 2007-2008.
- EDF (thèse R. Apparigliato), Production court terme, 2005-2007.
- EDF (thèse G. Emiel), Production moyen terme, 2005-2008.

- *Optimization de trajectoire* : J. Guidance, Control and Dynamics / Optimal Control Applic. & Methods / COCV
- *Schémas anti-dissipatifs* : J. Sci. Computing / Applied Num. Maths.
- *Algorithmes de tir* : Math. Programming / SIAM J. Control Optim.
- *Contrôle stochastique* : Applied Math. and Optim.

Trajectoires optimales avec arcs singuliers pour des problèmes de lanceurs spatiaux

Intervenants: P. Martinon, F.Bonnans, E.Trélat

Contexte: Contrat R&T avec le CNES (pôle OPALE)

Problème de lanceur: Ariane 5



- Vol depuis Kourou jusqu'à l'orbite GTO (orbite de transfert vers la géostationnaire)
- Difficultés les plus notables:
 - séparation des étages (phases de vol)
 - données physiques tabulées
- Simplification par rapport au vol réel:
 - direction de poussée libre

Critère: maximisation de la **charge utile**.

Question: Existence de trajectoires optimales avec **arcs singuliers** ?
(le niveau de poussée α des propulseurs auxiliaires **non maximal** ?)

Deux grandes classes de méthodes:

- **Méthodes directes:**

On discrétise le problème de contrôle optimal

⇒ problème de minimisation sous contraintes (non linéaire)

pénalisation, points intérieurs, SQP, ...

- **Méthodes indirectes:**

On implémente le Principe du Maximum de Pontryagin

⇒ méthode de tir

méthode de Newton (+ continuation)

Position du problème

Etat du système:

- position $r \in \mathbf{R}^3$
- vitesse $v \in \mathbf{R}^3$
- masses des constituants du lanceur

Dynamique du vol:

$$\begin{cases} \dot{r} = v \\ \dot{v} = \frac{1}{m}(T(r, u) - D(r, v)) + g(r) \\ \dot{m} = -\beta \|u\| \end{cases}$$

- $T(r, u)$: poussée des propulseurs.
- $D(r, v)$: traînée due à l'atmosphère.
- $g(r)$: gravité.

- **Gravité:** $\mathbf{g} = -\frac{\mu}{\|\mathbf{r}\|^3} (\mathbf{r} + \mathbf{J}_2 \frac{R_T^2}{\|\mathbf{r}\|^2} \mathbf{M}_{\mathbf{J}_2} \mathbf{r})$
(le terme du J_2 modélise la non-sphéricité de la Terre)

- **Poussée:** $\mathbf{T} = \alpha\beta \text{Isp } \mathbf{g}_0 - \mathbf{S} \mathbf{P}_z$

- α : niveau de poussée entre 0 et 1, β : débit maximal
- Isp : impulsion spécifique dans le vide, S : section de sortie
- P_z : pression atmosphérique à l'altitude z (table donne $\ln(P_z)$).

- **Traînée:** $\mathbf{D} = \frac{1}{2} \gamma \mathbf{P}_z \mathbf{M}^2 \mathbf{S}_r \mathbf{C}_x(\mathbf{M})$

- γ : rapport des chaleurs massiques, S_r : surface aérodynamique
- C_x : coefficient aérodynamique (suivant vitesse en Machs, table).
- M : vitesse en Machs, $M = V_{rel} / V_{son}$ (suivant l'altitude, table).
- V_{rel} : vitesse relative, $V_{rel} = V_{abs} - V_{air}$ ($V_{abs} = \|\mathbf{v}\|$)

Principe du Maximum de Pontryagin:

→ le contrôle optimal u^* maximise le Hamiltonien (p : état adjoint)

$$H = \langle p_r, v \rangle + \langle p_v, -\frac{D(r, v)}{m} \frac{v}{\|v\|} - \frac{g(r)}{m} + \frac{u}{m} \rangle - p_m b \|u\|$$

Posons $\Psi(x, p) = -\frac{\|p_v\|}{m} - p_m b$ la **fonction de commutation**

$$\begin{cases} \text{Si } \Psi(x, p) > 0 & \text{Alors } u = 0 \\ \text{Si } \Psi(x, p) < 0 & \text{Alors } u = -C \frac{p_v}{\|p_v\|} \\ \text{Si } \Psi(x, p) = 0 & \text{Alors } u = -\alpha C \frac{p_v}{\|p_v\|}, \quad \alpha \in [0, 1] \end{cases}$$

Deux premiers cas: loi de commande **bang-bang** (on/off)

Dernier cas: **commutation** ou **contrôle singulier**.

On obtient alors u_{sing}^* à partir de $\ddot{\Psi} = 0$ (calcul formel, MAPLE).

Quelques points techniques

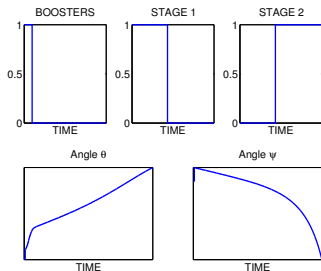
- Instants de séparation
 - on considère les masses des différentes parties du lanceur (pour garder la continuité des variables d'état)
- Traitement des données tabulées
 - interpolation (linéaire ou splines cubiques)
 - calcul de dérivées par différentiation automatique (outil TAPENADE, Inria Sophia, TROPICS)
 - adaptation du calcul des contrôles singuliers (expression formelle de $\ddot{\Psi}$ non disponible)
- Changement de coordonnées
 - conditions d'orbite finales exprimées sur l'orbite (passage cartésien \rightarrow képlerien: librairie MSLIB du CNES)
- Discontinuités du contrôle
 - algorithme de détection des commutations pour le tir

Etude préliminaire: vol à poussée maximale

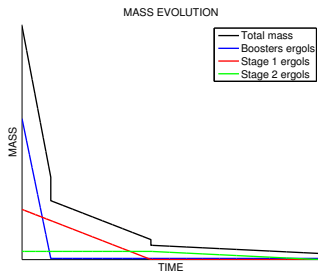
On considère ici un niveau de poussée maximal fixé $\alpha = 1$.

La résolution par tir simple est possible en procédant par étapes.
Résolution du vol à 1 phase \rightarrow ajout de la phase 2 \rightarrow vol complet

Solution à poussée maximale

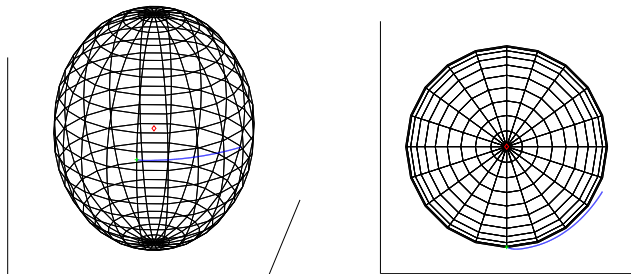


Contrôles



Masses

Trajectoire à poussée maximale



Temps de vol: 1232.375 secondes (consommation totale des ergols)

Charge utile obtenue: 14623kg (référence 12610kg)

NB. On a supprimé la contrainte d'incidence...

Etude des arcs singuliers

Déterminer la structure singulière (nombre d'arcs) du contrôle ?

→ **Continuation:** on régularise, ajout d'une **perturbation quadratique** au critère de consommation minimale

$$\text{Min} \int_0^{t_f} \|u(t)\| + (1 - \lambda)\|u(t)\|^2 dt, \quad \lambda \in [0, 1]$$

⇒ Hamiltonien **strictement convexe** par rapport à u , pour $\lambda < 1$.

$$\left\{ \begin{array}{ll} \text{Si } \Psi > 0 & \text{Alors } \alpha = 0 \\ \text{Si } \Psi < -2\beta(1 - \lambda) & \text{Alors } \alpha = 1 \\ \text{Sinon} & \alpha = -\frac{\psi}{\beta(1-\lambda)} \end{array} \right.$$

Résolution:

- quand $\lambda \rightarrow 1$, informations sur la structure singulière du contrôle.
- puis tir simple avec structure singulière

Initialisation:

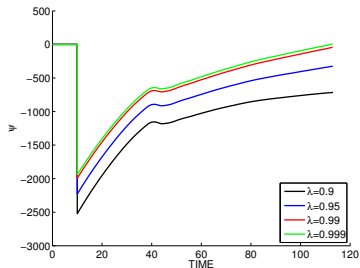
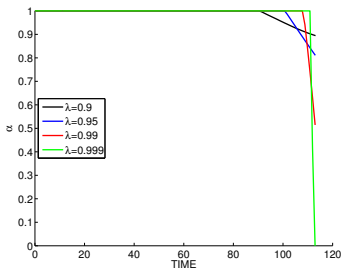
Même régularisé, le problème est difficile à résoudre...

→ continuation: introduction progressive de l'atmosphère.

Problème de départ: pas d'arcs singuliers

On ne détecte pas de trajectoires optimales avec arcs singuliers:

la continuation mène à une solution $\alpha = 1$.



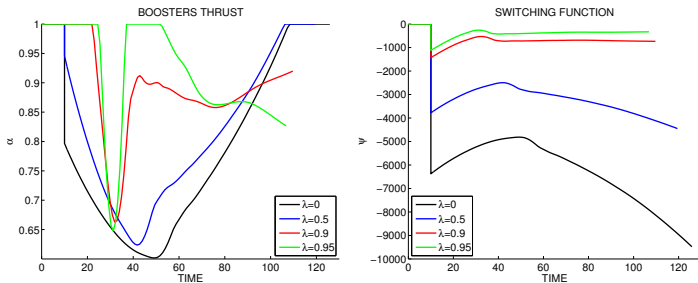
Remarque: il y a en fait une commutation tout à la fin.

Méthodes directes: solution à poussée maximale également.

Etude d'un lanceur modifié

On tente d'augmenter l'influence de la traînée, via les paramètres S_r (surface de référence) et Isp_{EAP} (impulsion spécifique).

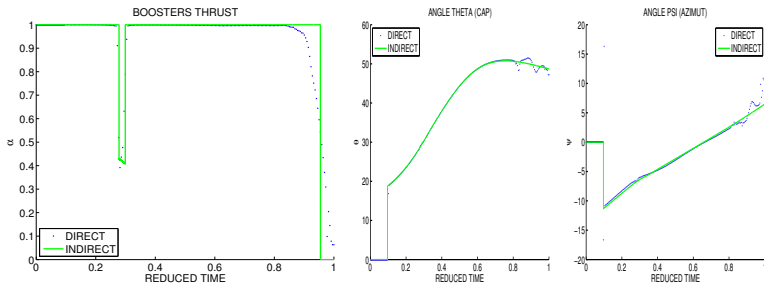
Avec $S_r \times 2$ et $Isp_{EAP} \times 1.25$, on détecte un arc singulier:



L'évolution des solutions suggère une structure de la forme
bang(1) - sing - bang(1) [- bang(0)]

Solution avec arc singulier

Le tir simple et la méthode directe confirment cette hypothèse:



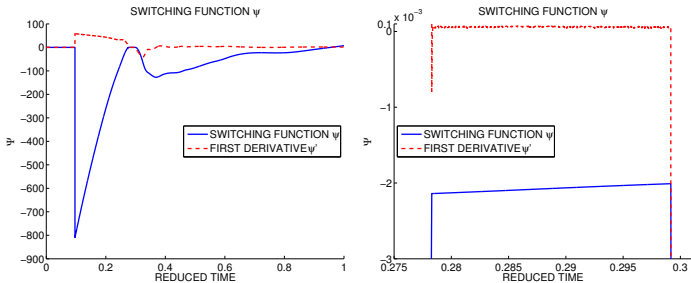
Critère (masse finale EAP):

- tir simple: $m_1(t_f) = 165163kg$

- direct: $m_1(t_f) = 164990kg$

- solution bang-bang (direct): $m_1(t_f) = 164442kg$

Fonction de commutation et sa première dérivée:



→ ψ et $\dot{\psi}$ sont bien proches de 0 sur l'arc singulier.

Conclusions

- Pas d'arc singulier pour le problème de départ.
- Arc singulier possible suivant les valeurs de S_r et I_{sp} (par ex).
- Méthode de résolution éprouvée.

Perspectives (demande d'un nouveau contrat R&T en cours)

- Dépendance de l'arc singulier quant aux paramètres du lanceur ?
- Etude de lanceurs à voilure (terme de portance)
- Conditions suffisantes d'optimalité ?

Equations d'Hamilton-Jacobi-Bellman

Intervenants: F. Bonnans, E. Cristiani, N. Forcadel, H. Zidani

- Approche globale pour les problèmes de contrôle optimal (déterministes ou stochastiques)
 - Basée sur le principe de programmation dynamique de Bellman (60's)
 - Cadre théorique: notion de solution de viscosité (80's)
 - Avantages: approche globale, solutions feed-back.
 - Difficultés: équations non linéaires, solutions peu régulières, coût numérique élevé

- Modélisation de plusieurs phénomènes physiques: propagation de fronts, dislocation de cristaux, ...

Equations HJB: nos contributions

- ☞ Etudes théoriques: existence, unicité et étude de régularité des solutions. Estimations d'erreurs d'approximation.
- ☞ Algorithmes rapides, efficaces, adaptatifs.
Convergence des schémas numériques
- ☞ Applications: propagation de fronts, contrôle optimal déterministe ou stochastique, domaine de viabilité, bassin de capture

(Scalappix, Cermics, Ceremade, U. La Sapienza, UCLA, Berkeley, ...)

Equation HJB provenant du contrôle optimal déterministe

$$\partial_t \vartheta(x, t) + \mathcal{H}(x, D_x \vartheta(x, t)) = 0 \quad]0, T[\times \mathbb{R}^d, \quad (1a)$$

$$\vartheta(x, 0) = \Phi(x) \quad x \in \mathbb{R}^d, \quad (1b)$$

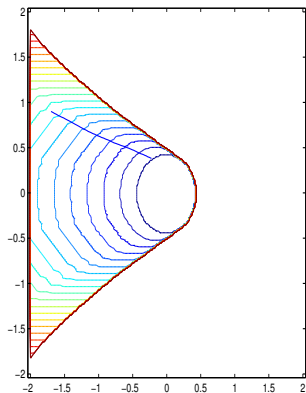
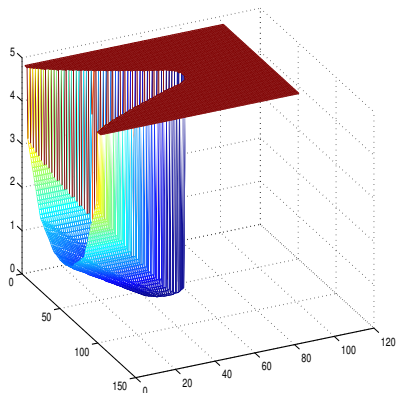
avec $\mathcal{H}(x, D_x \vartheta(x, t)) = \max_{a \in \mathcal{A}(x)} \left(f(x, a) \cdot D_x \vartheta(x, t) \right)$

Φ est (en général) discontinue.

Pour un problème de commande optimale, f est la dynamique du système, Φ est le coût final et ϑ représente la fonction valeur.

Exemple: Navigation d'une barque (Zermelo)

Zone de trajectoires admissibles pouvant atteindre la cible en temps fini



•Cas de coût final Φ continue

- Différences finies: Godunov type, Lax Friedrichs, ... (Lions, Souganidis, Barles,...),
- Méthodes Semi-Lagrangiennes utilisant le principe dynamique (Cristiani, Falcone, Ferreti, Grüne, ...)
- Approximations par chaînes de Markov (Kushner-Dupuis,...)
- Schémas non-oscillants (ENO,WENO) (Osher, Shu, ...)
- Galerkin discontinu (Cockburn, Shu,...)
- Schémas d'ordre élevé (R. Abgrall)

•Cas de $\Phi \in \{0, 1\}$

- Fast Marching Method (Sethian, Falcone, Forcadel, Cristiani, Monneau, Zidani ...)
- Méthodes anti-dissipatives (Bokanowski, Zidani, ...)

- Schémas anti-dissipatifs non-monotones (UltraBee): Convergence et estimations d'erreur
- Réalisation d'un code rapide (dimension 2, 3 ou 4) sur des grilles creuses pour la résolutions des équations HJB avec des solutions qui ne prennent que les valeurs 0 et 1.

Implémentation sur des grilles creuses

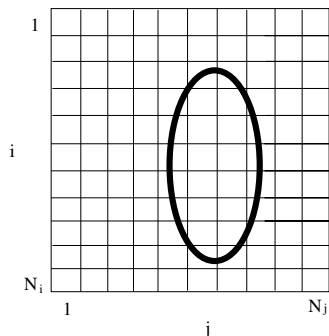
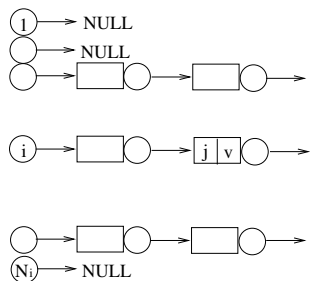
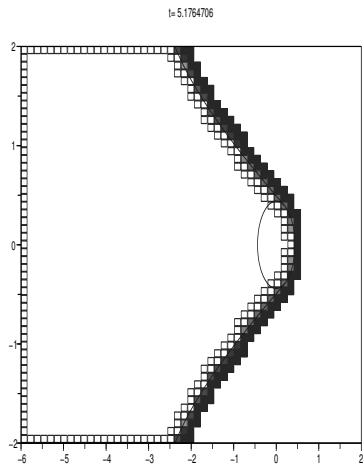
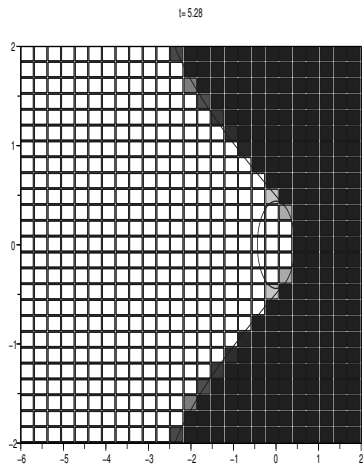


Figure: structure contenant les mailles traversées par le front ainsi que leurs voisines (SP-Static)

Problème de Zermelo: Bassin de capture



Implémentation sur des grilles creuses: 3D

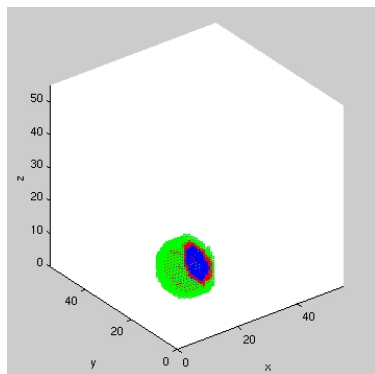


Figure: A $t = 0$

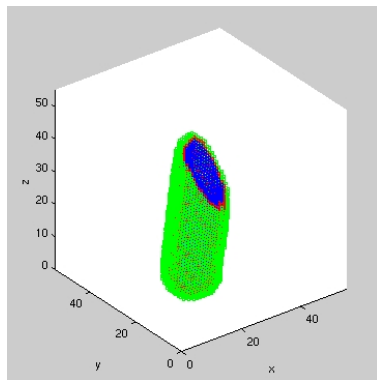


Figure: A $t = 1.5$

Figure: Exemple d'une propagation de fronts en 3D

Implémentation sur des grilles creuses (UltraBee): 3D

nodes	FULL 256MB	FULL 8GB	SP-STATIC	NB
25^3	0.02	0.01	0.02	432
50^3	0.38	0.24	0.18	2016
100^3	6.10	4.39	1.51	8016
200^3	x	64.29	14.41	31416
400^3	x	1175.00	146.78	125968

Implémentation sur des grilles creuses (UltraBee): 4D

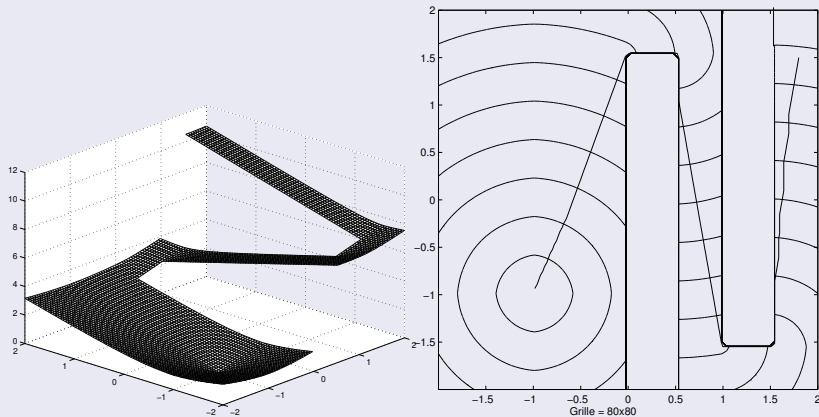
Noeuds	SP-STATIC	Iter.	Nbre de noeuds NB
25 ⁴	0.49	4	3024
50 ⁴	6.39	7	23552
100 ⁴	123.97	14	179472

Table: Temps CPU pour des tests 4D

Noeuds	SP-STATIC	Iter.	Nbre de noeuds NB
16x	19.4x	2x	7.6x

Table: rapport des temps CPU

Propagation de fronts/Planification de trajectoires



- Consommation d'un moteur hybride (Renault, 2002)
- Problème de montée des lanceurs sous contrainte de lanceurs (Cnes, en cours)
- Planification de trajectoires (DGA, en cours)

- Estimations d'erreur des approximations numériques
- Schémas de différences finies généralisées pour les équations du second ordre avec matrice de diffusion dégénérée.
- Code rapide pour la résolution de l'équation HJB en dimension 2
- Application: Problème de sur-couverture (en collaboration avec la Société Générale)

Sujets d'interaction ?

- Dynamique de population / médical
- Calcul d'enveloppe d'ensembles discrets
Applis schémas HJB et stabilité de structures (CEA)
- Optimisation globale (réseaux de gaz)

$$P_i^2 - P_j^2 = c_{ij} \frac{Q_{ij}}{D_{ij}}.$$

- Programmation stochastique